

تجزیه و تحلیل رخسارهای، محیط رسوبی و فرآیندهای دیاژنتیکی سازند ایلام میدان گچساران، حوضه زاگرس

مهدی احمدی نبی^۱، داود جهانی^۱ و بهمن سلیمانی^{۲*}

۱- گروه زمین‌شناسی، دانشکده علوم پایه، دانشگاه آزاد اسلامی واحد تهران شمال، ایران

۲- گروه زمین‌شناسی و حوضه‌های رسوبی، دانشکده علوم زمین، دانشگاه شهید چمران اهواز، ایران

تاریخ دریافت: ۱۴۰۰/۰۳/۲۱ تاریخ پذیرش: ۱۴۰۰/۰۴/۱۲

چکیده

بررسی ویژگی‌های رسوبی سازندهای کربناته به عنوان یکی از مخازن عمدۀ ذخیره‌سازی هیدروکربن، اهمیت بالایی دارد. به منظور تجزیه و تحلیل رخسارهای، محیط رسوبی، و تغییرات دیاژنزی سازند ایلام (گروه بنگستان) در میدان گچساران از داده‌های مقاطع نازک، و نمودارهای چاه‌پیمایی (lag) استفاده شده است. مطالعات پتروگرافی نشان داد این سازند منحصرًا در بخش غربی گسترش داشته، و با یک منطقه زیستی حاوی رخساره نزیتیک ناحیه کم عمق دریا، مشخص می‌گردد. رخساره‌های رسوبی این سازند عمدتاً آهکی که گاهی (بسته به عمق حوضه رسوبی) به آهک شیلی تغییر می‌نماید. در چاه‌های بخش شرقی میدان گچساران، نبود عظیمی از رسوبات کنیاسین و تورونین مشاهده شد که علت آن تاثیر فاز فرسایشی بعد از سنومانین-تورونین و ایجاد ارتفاعات قدیمی به موازات گسل خارک-میش است. رخساره‌های تعیین شده برروی یک پلاتفرم کربناته (شلف)، در سه محیط لاغون، پشتنه (شول) و لagon دریای باز نهشته شده‌اند. رخساره‌های سازند ایلام محیط‌های مختلف دیاژنزی دریایی، متوئریک، دفنی و نیز بالا آمدگی را تجربه نموده‌اند. این رسوبات در معرض فرآیندهای میکریتی شدن، فشردگی، سیمانی شدن، نثومورفیسم، انحلال، شکستگی و جانشینی (دولومیتی شدن، هماتیتی شدن و پیریتی شدن) قرار گرفته‌اند. مهم‌ترین انواع تخلخل شامل حفره‌ای مرتبط، شکستگی و کانالی هستند، که نقش زیادی در تغییرات کیفیت مخزن داشته‌اند. بررسی مقادیر پارامترهای پتروفیزیکی نشان داد که میانگین تخلخل، اشباع آب و نسبت ضخامت مفید به کل متغیر بوده ولی به طور کلی به ترتیب ۰/۰۱۶، ۸۸٪ و ۰/۲/۳٪ است. با توجه به پایین بودن میزان تخلخل، نقش شکستگی، و سایر فرآیندهای دیاژنزی در کیفیت مخزن قابل توجه است. فعالیت بلندی قدیمی در بخش شرقی نه تنها در توزیع رخساره‌ای محسوس است بلکه نقش عمدۀ‌ای در تحولات بعدی سازند ایلام دارد. بنابراین کیفیت مخزنی سازند ایلام تابع عوامل متعدد رسوبی، دیاژنزی، و فعالیت تکتونیکی بوده، و لذا در بخش‌های مختلف متغیر خواهد بود.

کلمات کلیدی: میدان گچساران، سازند ایلام، نمودار چاه‌پیمایی، رخساره رسوبی، کیفیت مخزن

تهرانی و همکاران [۱۹] در کوه عسلویه) بیان شده است. سپیانی و همکاران [۲۰] پتروگرافی و تاریخچه رسوب‌گذاری سازند ایلام در چاههای شماره ۱ و ۴ میدان نفتی ماله کوه (شمال باختری اندیمشک) را مورد بررسی قرار دادند. اسدی مهمان‌دوستی [۲۱] و اسدی مهمان‌دوستی و همکاران [۲۲-۲۳] به بررسی ژئوشیمی، محیط رسوبی و دیاژنز سازند ایلام پرداخته‌اند. چهارده چریک [۲۴] زیست چینه‌نگاری سازند ایلام) مقطع تیپ (را براساس فرامینیفرهای پلانکتونیک، جنوب-غرب ایلام مورد بررسی قرار داد. ریختگرزاده و همکاران [۲۵] در مطالعه ریز چینه‌ای سازند سروک و ایلام در چاه ۳۳۵ در میدان گچساران، ۵ زیر رخساره در سازند ایلام تعیین نمودند. مهربانی و همکاران [۲۶] محیط رسوبی و سکانس چینه‌ای سازند ایلام در فروافتادگی دزفول را مطالعه نمودند. مدل سازی سازند ایلام در میادین نفتی جنوب‌غرب ایران توسط محققین مختلفی مطالعه شده است (مانند [۲۷-۲۸]). با بررسی پیشینه مطالعاتی، به نظر می‌رسد ارزیابی تکمیلی این سازند و تغییرات لیتوژئیکی آن، نیازمند بررسی و توجه به نقش تکتونیک در پتانسیل هیدروکربنی این سازند [۲۹-۳۰] و نیز استفاده از داده‌های حاصل از چاههای حفاری جدید است. مقاله کوتونی تلاش می‌نماید که با آنالیز رخساره رسوبی و بررسی فرآیندهای مختلف دیاژنزی سازند ایلام در میدان گچساران با توجه به داده‌های چاههای حفاری جدید، تفسیر جدید و مدل رسوبی مناسبی را ارائه نماید.

موقعیت جغرافیایی منطقه مورد مطالعه

میدان گچساران در ۵ km جنوب غربی شهرستان گچساران و ۲۰۰ km جنوب شرق شهرستان اهواز قرار دارد. این میدان از نظر ساختمان، تاقدیسی کشیده و نامقمارن با محوری در جهت شمال غرب-جنوب شرق به طول ۶۳ km و عرض ۶ تا ۱۲ km است. میدان گچساران به دلیل مجاورت و انضمام تاقدیس نسبتاً کوچک و ساده‌ای به نام لیستر در

مقدمه

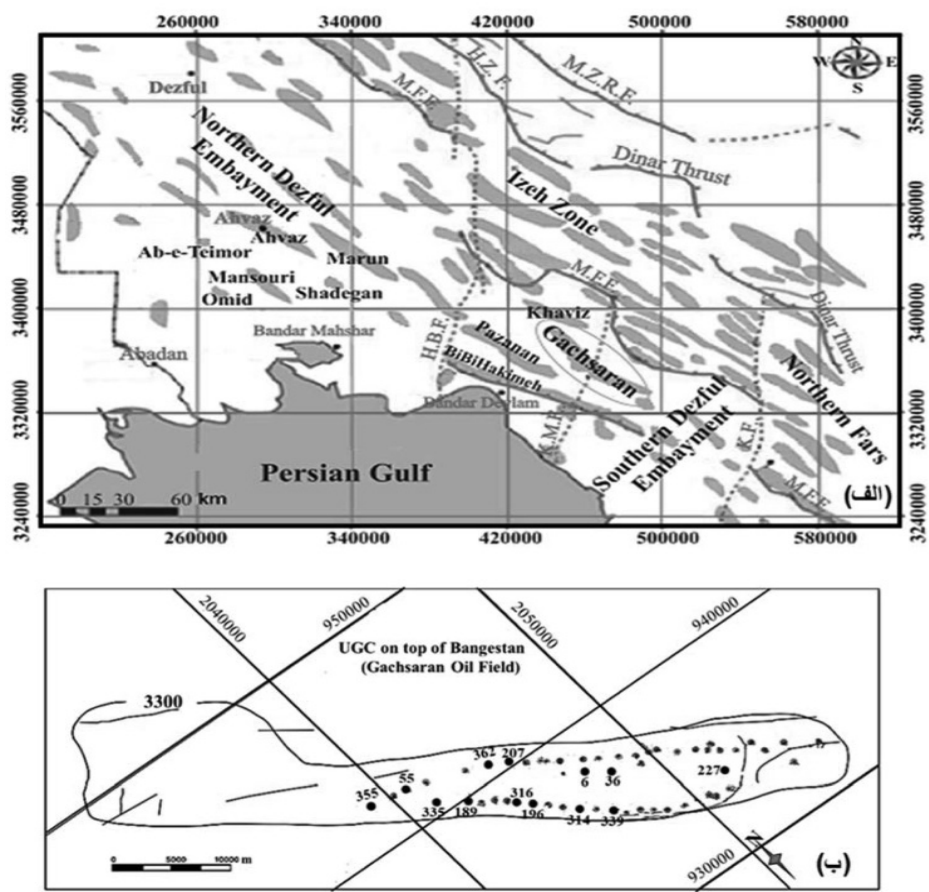
آنالیز رخسارهای در اکتشاف و توسعه مخازن هیدروکربنی در سنگ‌های کربناته اهمیت بالایی دارد [۱]. کیفیت سنگ مخزن می‌تواند متأثر از شرایط رسوبی یا نوع رخساره رسوبی و فرآیندهای دیاژنسی مؤثر بر آن باشد [۲]. در مخازن هیدروکربنی، انواع مرتبط با سطوح ناپیوستگی، ۲۰ تا ۳۰٪ از کل ذخایر هیدروکربوری را شامل می‌شوند [۳]. تأثیر شرایط و فرآیندهای دیاژنز جوی (اُلوژنتیک/ تلوژنتیک) بر بیرون زدگی‌ها، در حفظ، گسترش و یا تخریب تخلخل در این گونه مخازن با اهمیت است [۴-۵]. سیستم حفرات در طول زمان رخمنون، تحت شرایط جوی قرار می‌گیرند و دوره‌های کوتاه‌تر رخمنون در مقایسه با دوره‌های طولانی‌تر، افزایش بیشتر تخلخل و بهبود کیفیت مخزنی را موجب می‌شوند [۳]. تاکنون نظرات مختلفی در مورد مرز ناپیوستگی سنومانین فوقانی تا پایان تورونین در فروافتادگی دزفول ارائه شده است: در بالای منطقه زیستی ۲۹ [۶-۸]، در زیر منطقه زیستی ۲۹ [۹-۱۰]، به صورت دو ناپیوستگی [۱۱-۱۲] و یا یک ناپیوستگی اصلی در میانه منطقه زیستی ۲۹ [۱۳-۱۴]. نوشه‌ها و مقالات زیادی در خصوص سازند ایلام وجود دارد که از مهم‌ترین آنها می‌توان به موارد زیر اشاره کرد: وزیری مقدم [۱۵] زیست چینه‌نگاری سازند ایلام را در جنوب‌شرقی شیراز مطالعه کرده و در آن دو منطقه زیستی براساس فرامینیفرهای پلانکتون تشخیص داده است. وزیری مقدم و صفری [۱۶] میکروفاسیس و محیط رسوبی سازند را در منطقه سمیرم مطالعه و سن سازند ایلام را سانتونین و مدل رسوبی آن را فلات کربناته از نوع رمپ و سرمدی و همکاران [۱۷] محیط شول و دریای باز را برای آن در میدان نفتی سعادت‌آباد در نظر گرفته‌اند. هر چند براساس موقعیت سازند در حوضه زاگرس سن‌های مختلفی از جمله تورونین-کامپانین (شاهین [۱۸] در میادین مشترک ایران-عراق)، کنیاسین-سانتونین (خدایی و همکاران [۱۹] در ناحیه آبادان) و سانتونین (خسرو

ضخامت محدود سازند ایلام و نیز نبود آن در بعضی از چاههای حفاری شده، تعداد ۲۰۰ مقطع نازک مربوط به سازند ایلام تفکیک و توسط میکروسکوپ پلاریزان مورد بررسی قرار گرفت. مجموع طول مغزه در چاههای مورد مطالعه ۱۲۵ m از چاههای ۳۵۵، ۳۶۲، و ۳۱۶ بود. در این مطالعه، در طبقه‌بندی سنگ‌ها از روش دانهام [۳۲]؛ در تفسیر ریزرسارهای از مدل‌های شلاگر [۳۳] و فلوگل [۱۱]؛ در شناسایی تخلخل از طبقه‌بندی چوکت و پری [۳۴] استفاده گردید. با توجه به عدم امکان رنگ‌آمیزی مقاطع، شناسایی انواع تخلخل در میکروسکوپ با کمک تیغه ژیپس و چسب اپوکسی با رنگ آبی انجام گرفت. به منظور اصلاح منطقه‌بندی مخزن بنگستان (سازندهای ایلام و سروک)، از نمودارهای چاه‌پیمایی (مانند گاما، نوترون، دانسیته) و همچنین نرم‌افزار سیکلولاگ نیز استفاده شد.

دماغه غربی آن، گچساران - لیشت نامیده می‌شود. این میدان و رخمنونهای اطراف از نظر ژئومتری و هندسه رسوی، تحت تأثیر ساختار خطی خارک - میش قرار گرفته است. تاقدیس میش در فاصله ۱۷ km شرق دو گنبدان (گچساران) و از نظر زمین‌شناسی در منطقه ایذه در کمربند ساده چین خورده زاگرس قرار دارد (شکل ۱).

روش و ابزارهای مورد استفاده

در این مطالعه جهت بررسی پتروگرافی و همچنین تعیین و تفکیک رخسارهای رسوی، بررسی فرآیندهای دیاژنزی و تفسیر کیفیت مخزنی هر رخساره، از مقاطع نازک، داده‌های مغزه، و نمودارهای چاه‌پیمایی استفاده گردید. با بررسی تعداد ۱۳۱۴ مقطع نازک (شامل ۴۶۵ مقطع نازک از نمونه‌های مغزه و ۸۴۹ مقطع نازک تهیه شده کنده‌های حفاری) مربوط به مخزن بنگستان، به دلیل



شکل ۱ (الف) نقشه موقعیت میدان گچساران و میدان‌های همجوار [۳۱] و (ب) موقعیت چاههای مورد مطالعه

رخساره اصلی (شامل: ۱-شول؛ ۲-لاگون‌های محدود شده و دارای ارتباط با دریای باز) نهشته شده‌اند.

ریزرخساره‌های شول یا پشتهداری زیرآبی^۴

ریزرخساره شماره ۱-گرینستون: این ریزرخساره (شکل ۲ الف)، از فرامینیفرای کفزی با فراوانی بسیار زیاد (نظیر آلوئولینیدا، نزاواتا، میلیولیدا و غیره)، خرده‌های رودیست و بایوکلاست‌ها (عمدتاً میکراتی شده) و پلوئید است. فراوانی فرامینیفرهای بنتیک (اغلب میکراتی شده) به حدی است که می‌توان در برخی موارد آن را بنتیک فرام گرینستون نامید. فایریک رسوبی نظیر جورشدگی خوب اجزاء بیانگر انرژی بالای محیط رسوب‌گذاری بوده و با توجه به این توضیحات، این ریزرخساره به بخش شول خصوصاً به سمت لاگون^۵ نسبت داده می‌شود.

ریزرخساره‌های لاگون محدود شده و دریای باز^۶ ریزرخساره شماره ۲-وکستون حاوی خرده‌های رودیست و فرامینیفرای بزرگ: این ریزرخساره (شکل ۲ ب) شامل فرامینیفرهای کفزی بزرگ از قبیل آلوئولینیدا، میلیولیدا و نزاواتا و خرده‌های کوچک رودیست و پلوئید در زمینه‌ای میکراتی است. پدیده میکراتی شدن در برخی بایوکلاست‌ها دیده می‌شود. این ریزرخساره معادل RMF16 فلوگل [۲۱] (مادستون- وکستون دارای میلیولید) است.

از مهم‌ترین نمودارهای به کار گرفته شده می‌توان به گامای تصحیح شده^۷، تخلخل نوترون، چگالی، مقاومت، نمودار تخلخل مؤثر^۸ و نمودار اشباع شدگی آب مؤثر^۹ اشاره کرد. در این پژوهش، رخساره‌های سازند ایلام در ۹ حلقه چاه میدان گچساران مورد مطالعه قرار گرفت. در این راستا، ارزیابی محیط رسوبی توسط معیارهای رسوبی و پالتواکولوژیکی انجام شد.

بحث

آنالیز رخساره‌ای سازند ایلام در میدان گچساران

با توجه به بررسی‌های به عمل آمده در زمینه توزیع رخساره‌های رسوبی سازند ایلام در چاههای مورد مطالعه این میدان آشکار شد که این سازند تنها در بخش غربی میدان مشاهده می‌شود ولی به سمت شرق میدان به واسطه وجود بلندی‌های دیرین، تحت تأثیر فرسایش و یا نبود رسوب‌گذاری قرار گرفته است. رخساره غالب سازند ایلام در بخش‌های کم عمق‌تر پلاتفرم کربناته در محیط‌های شول، لاگون مرتبط با دریای باز و لاگون محدود، تشکیل شده است.

مطالعات رخساره‌ای انجام گرفته منجر به شناسایی تعداد ۵ ریزرخساره (جدول ۱ و شکل ۲) در سازند ایلام شده که این ریزرخساره‌ها در ۲ کمربند

جدول ۱ ریزرخساره‌های مشاهده شده سازند ایلام

رخساره	توصیف	محیط رسوبی
MF 1	گرین استون- فرامینیفر بنتیک (BF)، پلوئیدها	شول
MF 2	وکستون- بیوکلاست (رودیست، دوکفه‌ای، فقدان فرامینیفر بنتیک)	لاگون
MF 3	مادستون- وکستون، فرامینیفر بنتیک (والوئولینا، نزاواتا، ...)- بیوکلاست (خرده رودیست)	لاگون
MF 4	پکستون دارای فرامینیفر بنتیک + خرده صدف	لاگون
MF 5	مادستون (framinyfer بنتیک نظیر میلیولید، نزاواتا، ...)	لاگون- نیمه محدود

1. CGR=Corrected Gamma Ray

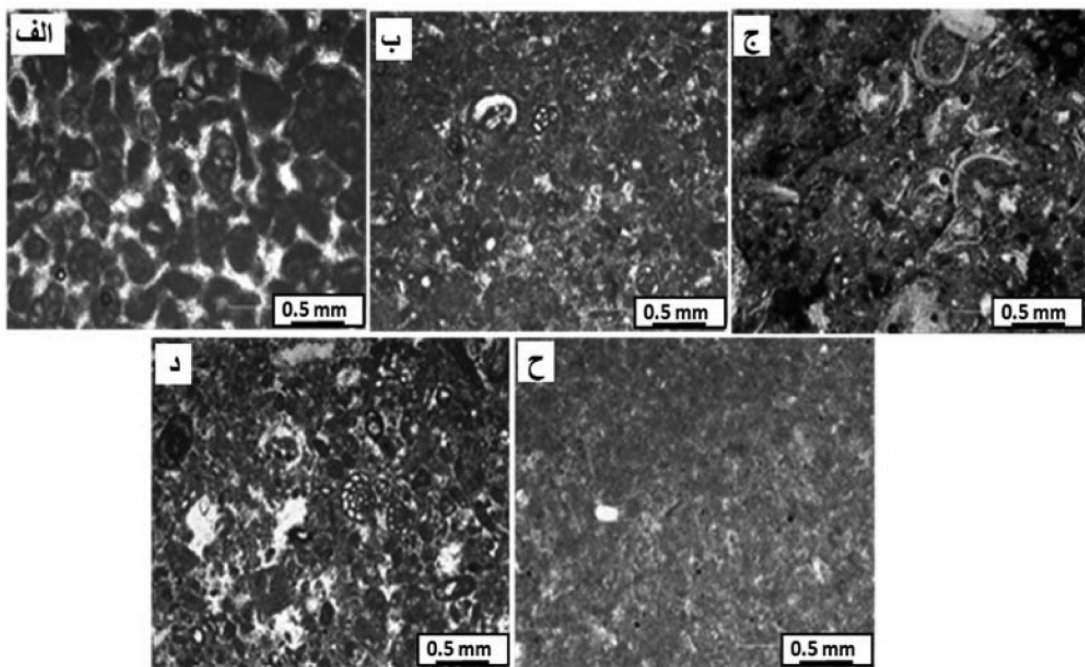
2. PHIE

3. SWE

4. Shoals

5. Back Shoal

6. Open Marine lagoon



شکل ۲ تصاویر میکروسکوپی از ریز رخساره‌های شناسایی شده شامل: الف- گرینستون (MF1); ب- وکستون حاوی خرده‌های رودیست و فرامینیفرای بزرگ و دارای پلوئید (MF2); ج- وکستون و مادستون حاوی قطعات جلبک و فرامینیفرای بنتیک (MF3); د- وکستون و پکستون حاوی قطعات جلبک و فرامینیفرای بنتیک (MF4); ح- مادستون با فونای لاغون محدود (MF5)، در چاههای ۳۳۵ و ۳۵۲ و ۳۵۶ میدان گچساران

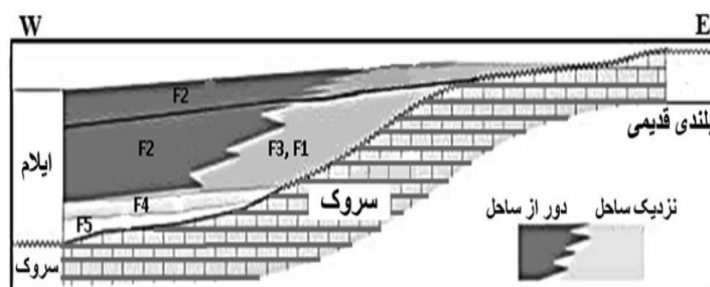
فرامینیفرهای کفزی از قبیل میلیولیدا، آلوئولینیدا و نزاکاتا، قطعات دو کفه‌ای در زمینه‌های گلی مشخص شده، و میلیولیدا بسیار فراوان‌تر از سایر فرامینیفرهای مورد اشاره است. در این ریز رخساره، فرامینیفرها دارای تنوع کمتری نسبت به ریز رخساره قبلی هستند. فراوانی میلیولیدا و فابریک گلی بیانگر محیط لاغون (محدود شده) است.

محیط و مدل رسوبی سازند ایلام

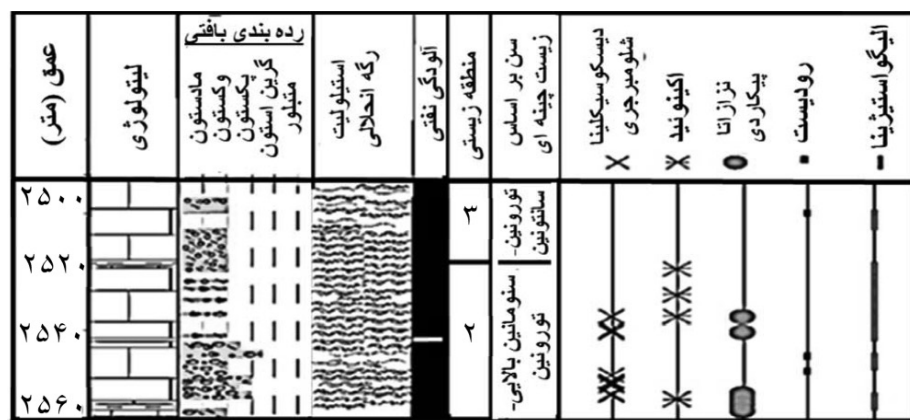
توزیع ریز رخساره‌های سازند ایلام همراه با تغییرات محیط رسوبی در [شکل‌های ۳ و ۴](#) ارائه شده است. رسوب‌گذاری در عمق‌های مختلف از دریاچه‌ای-قاره‌ای تا محیط‌های کم‌عمق و نسبتاً عمیق دریایی باز صورت گرفته است. محیط دریاچه‌ای شیرین تا لب شور در زمان پایین بودن سطح آب دریا وجود داشته است. پس از آن پسروی آب دریا و خروج از آب، در مناطق فروافتاده تر رخساره‌های آب‌شیرین و لب‌شور رسوب کرده است. با شروع پیشروی و رسوب‌گذاری اولین رسوبات دریایی (F5) منجر به پایه‌گذاری شلف باز شده است.

ریز رخساره شماره ۳- وکستون و مادستون حاوی قطعات جلبک و فرامینیفرای بنتیک: قطعات جلبک سبز، فرامینیفرای کفزی مانند نزاکاتا، میلیولیدا، آلوئولینیدا و خرده‌های رودیست و اویستر از آلوکم‌های غالب این ریز رخساره ([شکل ۲ ج](#)) هستند. با توجه به تنوع فرامنهای کفزی و حضور قطعات جلبک سبز، این ریز رخساره در محیط لاغون محدود با ارتباط اندک با آبهای آزادتر رسوب‌گذاری شده است. ریز رخساره شماره ۴- وکستون و پکستون حاوی قطعات جلبک و فرامینیفرای بنتیک: قطعات جلبک سبز، فرامینیفرای کفزی مانند نزاکاتا، میلیولیدا، آلوئولینیدا و خرده‌های رودیست از آلوکم‌های غالب این ریز رخساره ([شکل ۲ د](#)) هستند. با توجه به تنوع فرامنهای کفزی و حضور قطعات جلبک سبز، این ریز رخساره در محیط لاغون محدود با ارتباط اندک با آبهای آزاد نهشته شده است.

ریز رخساره شماره ۵- مادستون با فونای محدود لاغون: این ریز رخساره ([شکل ۲ ح](#)) با مقدار کمتر



شکل ۳ مدل رسوی مفهومی پیشنهادی برای سازند ایلام در میدان گچساران (F= فاسیس)



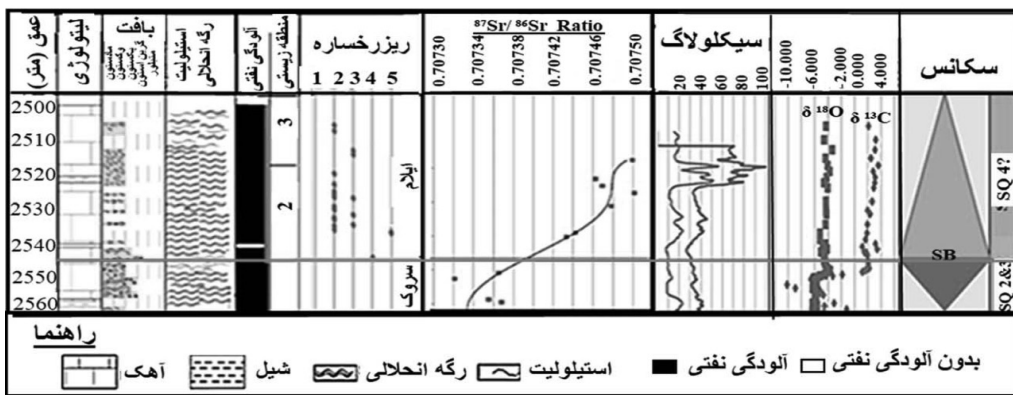
شکل ۴ نمایش شماتیکی توزیع رخسارهای در چاه X میدان گچساران

ایزوتوبی کربن و اکسیژن به سمت راس سازند دارای مقادیر مثبت‌تری است یعنی رسم از ایزوتوب‌های سبک غنی‌تر است. به طوری که روندهای افزایشی دما با سبکشدن نسبت ایزوتوب کربن و روندهای کاهشی دما با سنگینشدن این نسبت متناسب است؛ با وجود این، تغییرات نسبت ایزوتوب کربن به عوامل بسیاری از جمله تغییرات مواد آلی و آثار زیستی بستگی دارد و به سادگی ایزوتوب اکسیژن نیست [۳۷].

نقش بلندی‌های قدیمی در توزیع رخسارهای سازند ایلام

به منظور تفسیر توزیع رخسارهای سازند ایلام، ضخامت سازند با استفاده از داده‌های نمودارهای چاه‌پیمایی و نرم‌افزار پترل و همچنین مطالعه ۶ حلقه چاه مغزه دار و در بعضی موارد جهت رفع ابهام جهت تعیین سر سازندها از مقاطع نازک مطالعه گردید.

محیط عمیق‌تر با رخسارهای (F1 و F2) مشخص می‌شود. روند رسم از گذاری در سازند ایلام به طور کلی حالت پیش‌رونده دارد (شکل ۳). تجزیه و تحلیل رخسارهای حاکی از این است که کربنات‌های سازند ایلام در این ناحیه از فروافتادگی درزوفول در یک محیط پلاتفرم کربناته از نوع شلف تشکیل شده‌است. در شکل ۵ نیز تغییرات نسبت ایزوتوبی استرانسیم و نمودار سیکلولوگ (در یکی از چاه‌ها) نمایش داده شده است. این پارامترها تابق خوبی را با تغییرات سکانسی نشان می‌دهند. روند تغییرات نسبت ایزوتوبی $^{87}\text{Sr}/^{86}\text{Sr}$ به سمت راس سازند افزایشی جزئی نسبت به بخش زیرین (سازند سرورک) نشان می‌دهد (از ۰/۷۰۷۳ تا ۰/۷۰۷۵)، نسبت ایزوتوبی با سن سازند مطابقت داشته [۳۵]، این تغییر افزایشی می‌تواند مربوط به کم عمق شدن حوضه باشد [۳۶]. تغییر قابل ملاحظه این نسبت در عبور از سازند سرورک به ایلام مشاهده می‌گردد. روند تغییرات نسبت



شکل ۵ تغییرات نسبت ایزوتونی استراتسیم، اکسیژن و کربن و نمودار سیکلولاگ در چاه X گچساران [۳۸]

محیط دفن عمیق صورت می‌گیرد. این موضوع در ایجاد و تخریب تخلخل در رسوب بسیار حائز اهمیت است [۴۲]. پیش از آغاز دیاژنز تخلخل و تراوایی توسط ترکیب رسوبات و شرایطی که در طول رسوب‌گذاری غالب است کنترل می‌شوند [۴۳]. فرآیندهای دیاژنسی با اعمال تغییرات قابل ملاحظه بر روی رسوبات و سنگ‌های میزبان خود، موجب تغییر در سیستم اولیه حفرات شده و توزیع اولیه کیفیت مخزنی را دچار تغییرات اساسی می‌کند [۲]. به طور کلی، دیاژنس به میزان قابل توجهی می‌تواند خواص مخزنی سنگ‌های کربناته را تغییر دهد [۴۱]. بنابراین فرآیندهای دیاژنسی در تعیین خصوصیات مخزنی سنگ‌های کربناته اهمیت بالایی دارند. کربناتهای سازند ایلام در میدان نفتی گچساران تحت تأثیر طیف وسیعی از فرآیندهای دیاژنتیکی قرار گرفته‌اند. این فرآیندها به صورت شیمیایی و بیوشیمیایی شامل اتحال، سیمانی شدن، میکریتی شدن، استیلولیتی شدن، جانشینی دولومیتی شدن، هماتیتی شدن و پیریتی شدن، و یا مکانیکی (فیزیکی) شامل فشردگی و شکستگی هستند.

میکریتی شدن

میکریتی شدن خردنهای اسکلتی در کربناتهای سازند ایلام به طور گسترده‌ای مشاهده شده است. میکریتی شدن اولین مرحله دیاژنتیکی است که در دیاژنس دریایی رخ می‌دهد [۴۴].

عملکرد بلندی قدیمی خارک - میش و توپوگرافی ایجاد شده در حوضه رسوی میدان گچساران، باعث کاهش ضخامت ایلام در مرکز و حذف آن در بخش شرقی میدان شده است. ضخامت ایلام از ۶۶ m در گچساران - ۵۵ (غرب میدان) به ۴۴ m در چاه - ۳۶ (مرکز) و به صفر در چاه - ۲۲۷ (شرق میدان) کاهش یافته است. محدوده بلندی قدیمی خارک - میش در شکل ۶ الف در میدان گچساران و رخمنونهای اطراف که به صورت تغییرات ضخامت سازندها در امتداد یال شمالی در شکل ۶ ج نمایش داده شده است. این تأثیر شامل موارد زیر است.

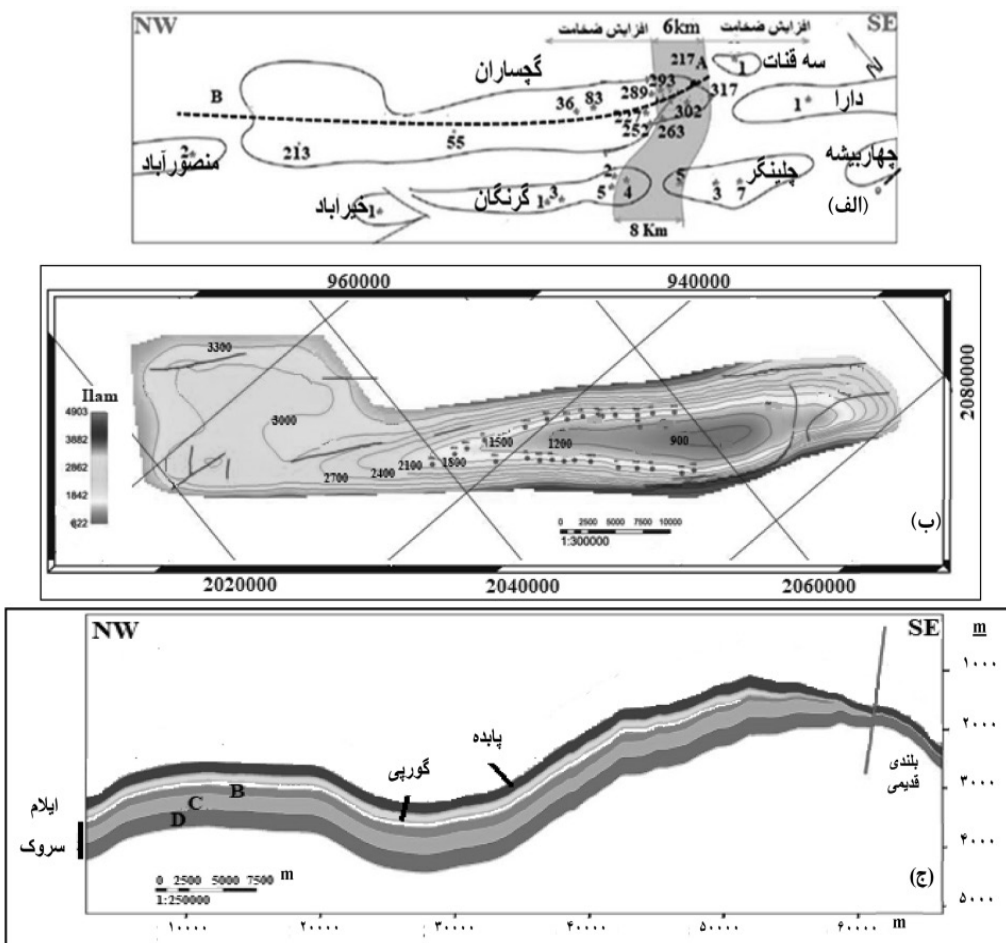
- عدم رسوب‌گذاری ایلام در شرق میدان و کاهش ضخامت آن در بخش‌های مجاور (شکل ۶).

- تأثیر آن بر روی سایر سازندها به صورت کاهش ضخامت در بخش شرقی میدان. به نظر می‌رسد این تأثیر بر رسوب سازند سروک کمتر از سایر سازندها باشد (شکل ۶ ج).

- بخش غربی میدان می‌تواند با بخش شرقی میدان تفاوت کلی داشته باشد (شکل ۶ ب و ۶ ج).

فرآیندهای دیاژنسی

سنگ‌های کربناته از نظر اقتصادی اهمیت بسیار زیادی دارند [۳۹]. دیاژنس نقش عمده‌ای را در تخریب تخلخل اولیه و ایجاد تخلخل ثانویه در آنها ایفا می‌کند [۴۱ و ۳۹]. دیاژنس کربناتهای در ارتباط با فرآیندهای مختلفی است که در محیط‌های نزدیک به کف دریا، مئوریک و به طرف پایین تا



شکل ۶ (الف) نمایش بالامدگی قدیمی خارک میش (بخش قهوه‌ای)، ب) نقشه منحنی همتراز زیرزمینی (U.G.C.) برروی افق ایلام، و ج) برش طولی ساختمانی و تأثیر بلندی قدیمی در ضخامت سازندها در امتداد یال شمالی میدان مطالعه

تحت تأثیر قرار داده، فشردگی است. علاوه بر عمق تدفین، شدت فشردگی به ترکیب ذرات و نوع مواد پرکننده منافذ بستگی دارد [۴۶].

فشردگی به دو صورت فیزیکی و شیمیایی رخ داده است. فشردگی فیزیکی به عنوان تغییر شکل پلاستیک ذرات انعطاف‌پذیر [۴۷] و یا به صورت شکستگی بعضی از اجزای اسکلتی) مانند پوسته استراکد (شده است (شکل ۸ (الف)). استیلولیتها اثرات فشردگی شیمیایی هستند که به عنوان آرایش نزدیک و تغییر شکل ذرات شناخته می‌شوند [۴۴].

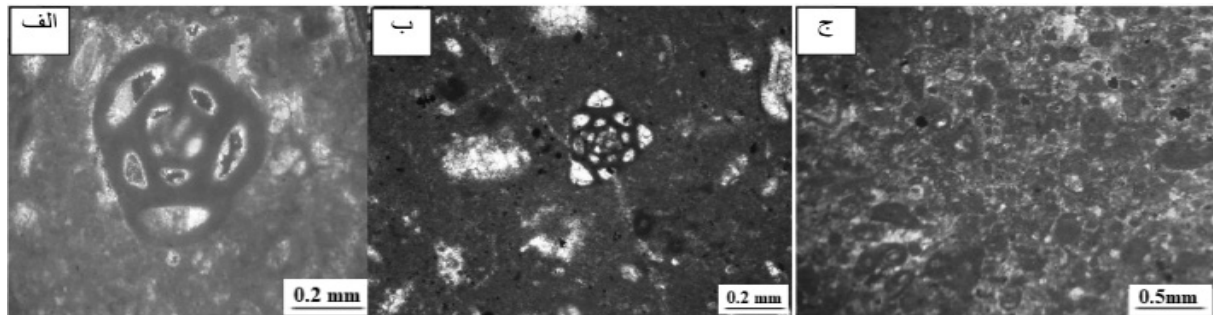
فرآیند استیلولیتی شدن یکی از مهم‌ترین فرآیندهای دیاژنزی مؤثر در سازند ایلام بوده و به وفور مشاهده می‌شود. طبق تقسیم‌بندی فلوگل [۱].

در سازند ایلام، پوشش‌های میکریتی در اطراف بیوکلاست‌هایی از قبیل فرامینیفرهای بنتیک عمدها در رخسارهای پکستونی و گرینستونی تشکیل شده است (شکل ۷ (الف و ۷ ب). در رخسارهای وکستونی نیز به میزان کمی میکریتی شدن اتفاق افتاده است. پوشش‌های میکریتی با ضخامت‌های مختلف و معمولاً در محیط فراتیک دریایی در نزدیکی سطح تماس آب با رسوب تشکیل می‌شوند [۴۵]. این پوشش‌های میکریتی باعث حفظ شکل کلی و مورفولوژی ذرات کربناته می‌شوند [۴۶]. همچنین در مواردی در اثر میکریتی شدن شدید ساختار داخلی، اجزاء اسکلتی به طور کامل از بین رفته است (شکل ۷ (ج)).

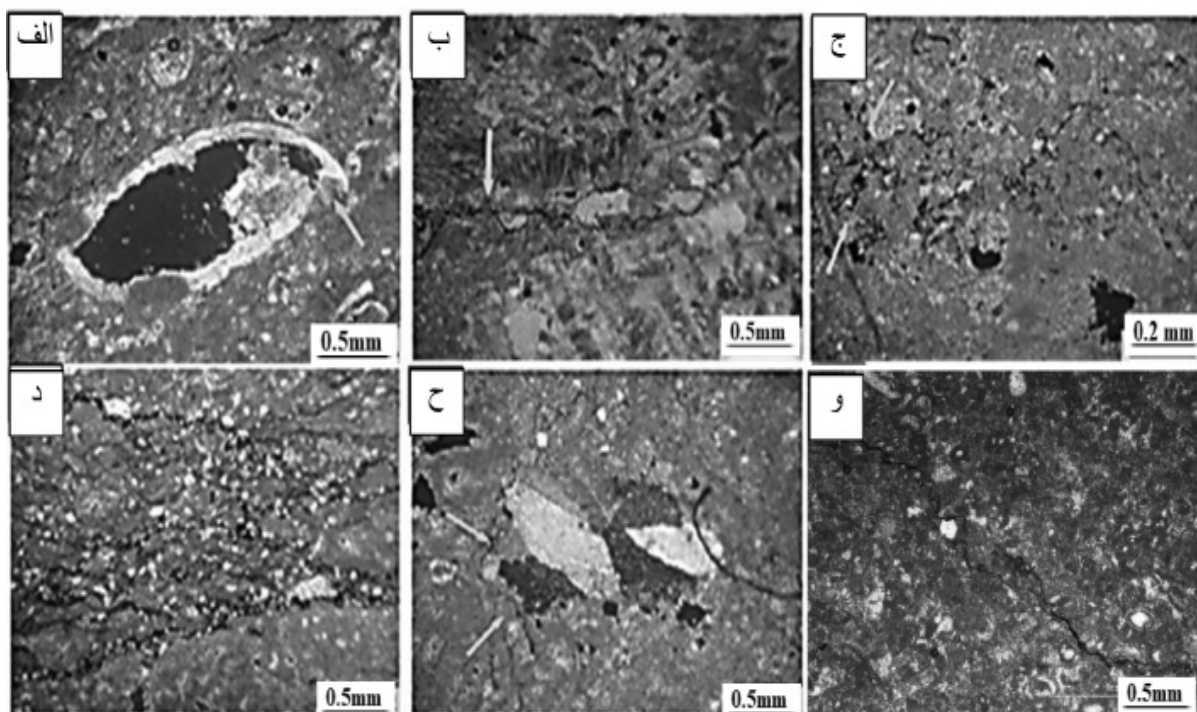
فسرده‌گی

یکی دیگر از فرآیندهای دیاژنسی که سازند ایلام را

پژوهش نفت شماره ۱۲۵، مهر و آبان ۱۴۰۱، صفحه ۷۶-۶۰



شکل ۷ تصاویر میکروسکوپی از تأثیر فرآیند میکریتی شدن در کربنات‌های سازند ایلام: الف- تشکیل پوشش میکریتی در اطراف میلیولید در رخساره وکستون؛ ب- تشکیل پوشش میکریتی در اطراف فرامینیفر بتیک در رخساره وکستون؛ ج- میکریتی شدن پلوئیدها در رخساره پکستون پلوئیدی.



شکل ۸ تصاویر میکروسکوپی تأثیر فرآیند فشردگی فیزیکی و شیمیابی در کربنات‌های سازند ایلام: الف- شکستگی پوسه استراکد در رخساره وکستونی؛ ب- تشکیل استیلولیت نامنظم و کم دامنه در رخساره (فلوتستون- رودستون رو دیستی؛ ج- استیلولیت‌های حلقوی در رخساره وکستونی؛ د- گسترش شدید استیلولیت‌ها) به صورت مجموعه پیچ در پیچ نامنظم (در رخساره وکستونی دولومیت‌ها به میزان زیادی در امتداد استیلولیت‌ها تشکیل شده‌اند؛ ح- تشکیل رگچه‌های انحلالی در رخساره وکستونی؛ و- استیلولیت‌های پرشده با آغشته‌گی نفتی (چاه ۳۵۲ گچساران عمق ۲۵۵۰ m)

استیلولیت‌ها در سازند مورد مطالعه در رخساره‌های وکستونی بیشتر دیده شده، و رخساره‌های گرینستونی به دلیل تشکیل سیمان در دیاژنز اولیه تحت تأثیر فشردگی کمتری قرار گرفته‌اند. در سازند ایلام رگچه‌های انحلالی نیز تشکیل شده‌اند (شکل ۸ ح) که نسبت به استیلولیت‌ها گسترش کمتری دارند.

استیلولیت‌های مذکور از نوع نامنظم حلقوی بوده و بیشتر به صورت مجموعه پیچ در پیچ نامنظم تشکیل شده‌اند (شکل ۸ ب، ۸ ج و ۸ د). این استیلولیت‌ها در رخساره گل پشتیبان به راحتی تشکیل شده [۱۵]، دلیل گسترش آنها می‌باشد. فرآیند دولومیتی شدن در امتداد این استیلولیت‌ها به میزان زیادی مشاهده شده است (شکل ۸ د).

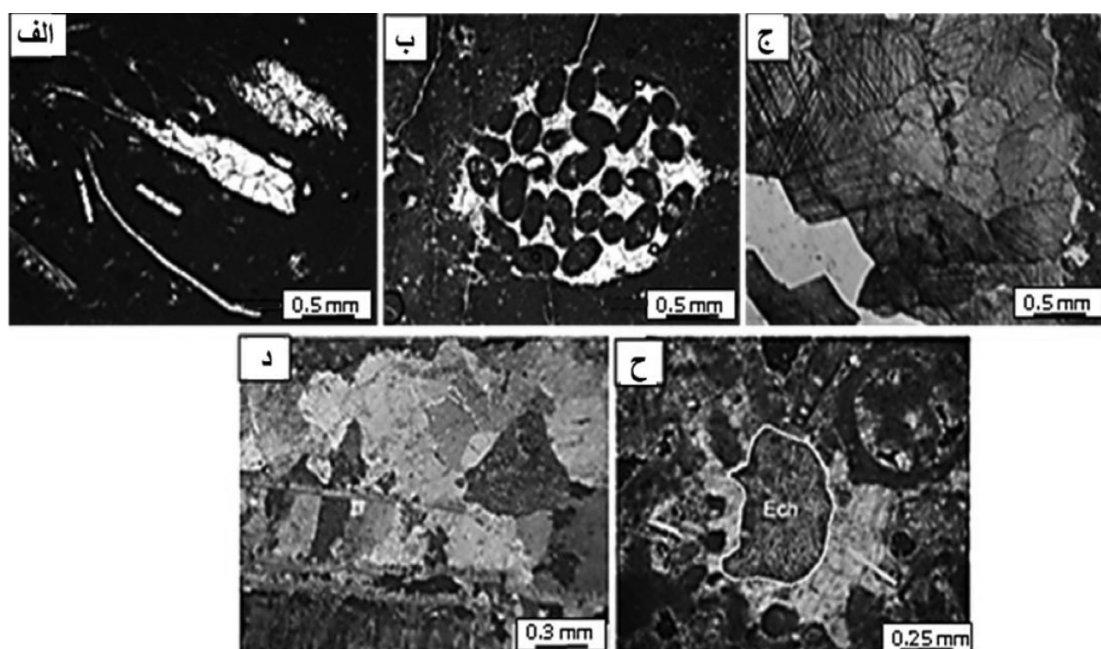
حفرات و شکستگی‌ها را به صورت بخشی یا کامل پر کرده است. همچنین، گاهی این نوع سیمان در قالب‌های حل شده اجزای اسکلتی تشکیل شده است. این نوع سیمان تقریباً در همه رخسارهای سازنده‌ای مورد مطالعه به صورت پرکننده حفرات و شکستگی (بیشتر در رخساره وکستونی)، و به صورت پرکننده قالب‌های قطعات اسکلتی (بیشتر در رخساره پکستونی و گرینستونی) مشاهده شد. سیمان بلوکی (شکل ۹^۵) نسبت به سایر فابریک‌های سیمان دارای بیشترین فراوانی است. سیمان هم محور (شکل ۹^۶) عموماً در محیط‌های فریاتیک دریایی (نzdیک به سطح، وادوز دریایی و فریاتیک متئوریک تشکیل می‌شود [۴۹].

نئومورفیسم

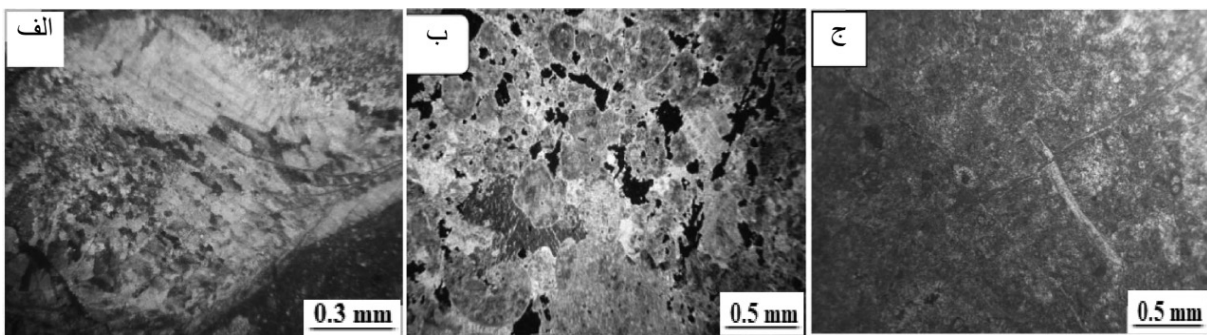
تأثیر فرآیند نئومورفیسم در سازند ایلام به صورت بیشتر از نوع افزایشی (تبديل میکریت به میکرواسپار (بوده) شکل ۱۰ الف) که طی آن موزاییک‌های درشت بلور همراه با تخریب جزئی یا کامل بافت قبلی سنگ ایجاد شده‌اند.

این رگچه‌ها بیشتر در رخسارهای وکستونی تشکیل شده‌اند. استیلولیت‌ها در خیلی از موارد آغشته‌گی نفتی دارند (شکل ۸). استیلولیت به عنوان معبّر یا کانال جریانی عمل نموده سپس توسط بخش‌های ریز دانه و یا مواد آلی پر می‌شوند. لذا در ابتدا موجب افزایش تخلخل و در نهایت کاهش تخلخل را در پی داشته و تنها هتروژنی مخزن را باعث می‌شوند. سیمانی شدن

انواع سیمان کربناته اغلب موجب تغییر یا تخریب حفرات سنگ می‌شوند [۴۱]. در سازند ایلام، سیمان از نوع کلسیتی بوده، دارای فابریک هم بعد، بلوکی، دروزی و هم محور یا سین تکسیال به صورت پرکننده حفرات، شکستگی‌ها (سیمان رگهای) و منافذ اجزای اسکلتی است (شکل ۹). سیمان هم بعد با بلورهای شکل دار و نیمه شکل دار بیشتر در حجره قطعات اسکلتی) از جمله رودیسیت و فرامینیفرهای بننیک (تشکیل شده، نشان‌دهنده محیط متئوریک و تدفینی است [۴۸، ۱]. سیمان با بلورهای درشت و شفاف (شکل ۹ الف الی ۹ ج)، فضاهای خالی)



شکل ۹ تصاویر میکروسکوپی تأثیر فرآیند سیمانی شدن در کربنات‌های سازند ایلام: الف- سیمان هم ضخامت وابسته به فابریک (عمق ۲۵۲۱ m در چاه ۳۵۲)؛ ب- سیمان کلسیتی در اطراف دانه‌های بلوئید (عمق ۲۵۲۷ m چاه ۳۵۲)؛ ج- سیمان هم بعد (عمق ۲۵۴۱ m در چاه ۳۳۵)؛ د- سیمان کلسیت بلوکی در رخساره پکستون پلوئیدی؛ ح- سیمان هم محور در اطراف اکینوئید در رخساره پکستونی (Ech = اکینوئید)



شکل ۱۰ تصاویر میکروسکوپی از تأثیر فرآیند نئومورفیسم، انحلال و شکستگی در سازند ایلام؛ الف- نئومورفیسم، کلسیتی شدن در رخساره فلوتیتون-رودستون رویدستی؛ ب- انحلال غیرفلبریک انتخابی؛ ج- تخلخل حاصل از شکستگی در رخساره وکستونی

آنها به صورت جزئی و یا کامل توسط سیمان‌های کلسیت بلوكی و دروزی پرسده و به صورت رگه‌های کلسیتی درآمده‌اند (شکل ۱۰ ج) که در اندازه‌های مختلف در سازند ایلام تشکیل شده‌اند.

جانشینی

فرآیند جانشینی در کربنات‌های مورد مطالعه به صورت دولومیتی شدن، هماتیتی شدن و پیریتی شدن مشاهده شد. دولومیتی شدن-دولومیتها به دو صورت مشاهده می‌شوند: (۱) بلورهای پراکنده در زمینه و (۲) مرتبط با استیلولیت. فرآیند دولومیتی شدن یکی از فرآیندهای غالب دیاژنزی در سازند ایلام می‌باشد، که بیشتر به صورت دولومیت‌های مرتب با استیلولیت است. در فرآیند دولومیتیزاسیون علاوه بر نقش دیاژنز کارنی‌های رسی سازندهای شیلی (مانند کژدمی)، زمینه میکریتی یکی دیگر از منابع مهم تامین منیزیم است [۵۷-۵۶] که در جریان دیاژنز و فرآیند نئومورفیسم و تبدیل به بلورهای بزرگ‌تر موجب آزاد شدن مقداری یون منیزیم می‌شود. بافت دولومیت به صورت ایدیوتوبیک می‌باشد (شکل ۱۱ الف).

هماتیتی شدن- در امتداد استیلولیتها و رگچه‌های انحلالی و گاهی در زمینه میکریتی مشاهده می‌شود (شکل ۱۱ ب).

پیریتی شدن- فرآیند دیاژنتیکی است که در محیط‌های احیایی اتفاق می‌افتد [۵۹-۵۸].

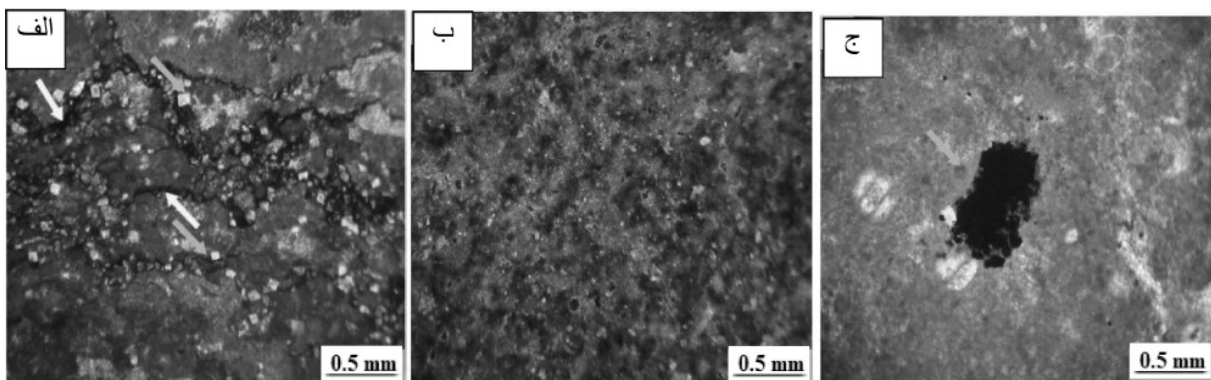
نئومورفیسم افزایشی بیشتر در رخساره‌های مادستونی و وکستونی، و کلسیتی شدن اجزای اسکلتی در انواع رخساره‌ها رخ داده است. کلسیتی شدن در محیط‌های متئوریک، دریایی و تدفینی و نئومورفیسم افزایشی طی دیاژنز تدفینی ممکن است رخ دهد [۵۱-۵۰].

انحلال

انحلال کانی‌های کربناته باعث ایجاد یا تغییر فضاهای خالی در سنگ مخزن می‌شود [۵۲ و ۵۳]. این فرآیند به صورت انحلال قطعات اسکلتی و ماتریکس رخ داده، باعث ایجاد انواع تخلخل ثانویه از قبیل حفره‌ای، قالبی و درون فسیلی شده است. انحلال اولیه آراغونیت و کلسیت با منیزیم بالا در محیط دیاژنتیکی دریایی یا در شرایط دفن کم عمق رخ می‌دهد [۵۳]. در سازند ایلام فرآیند انحلال به میزان بالایی تخلخل حفره‌ای ایجاد کرده (شکل ۱۱ ب)، و با وجود اینکه فرآیند سیمانی شدن بعضی از این حفرات را پر نموده، ولی درصد بالایی از آنها حفظ شده است.

شکستگی و پرشدگی

شکستگی نقش بسیار مهمی در تغییر خواص پتروفیزیکی مخازن کربناته ایفا می‌کند [۵۴-۵۵]. تعدادی از شکستگی‌های ایجاد شده به صورت باز و نیمه بازبوده، در افزایش تخلخل و تراوایی این سازند نقش داشته باشند. اگرچه این شکستگی‌ها در ایجاد تخلخل ثانویه مؤثر هستند، اما بسیاری از



شکل ۱۱ تصاویر میکروسکوپی از تأثیر فرآیندهای دولومیتی، هماتیتی و پیریتی شدن در کربنات‌های سازند ایلام؛ الف- دولومیت و هماتیتی شدن در امتداد استیلولیت‌ها؛ ب- هماتیتی شدن در زمینه میکریتی؛ ج- پیریت دانه تمشکی جانشین شده در زمینه

دو ناپیوستگی فرسایشی مهم بعد از سنومانین و تورنین رخ داده است. این دو ناپیوستگی در میدان گچساران از غرب به سمت شرق مخزن در یکدیگر ادغام می‌شوند. هرچند ضخامت این زون از شمال غرب به طرف جنوب شرق کاهش می‌یابد.

حداکثر ضخامت آن در چاههای حفاری شده در غرب میدان حدود ۱۰۰ m و از غرب به سمت شرق روندی کاهشی دارد. میانگین تخلخل و اشباع آب در مخزن ایلام به ترتیب $\frac{۲}{۳}\%$ و $\frac{۸۸}{۰}\%$ و نسبت ضخامت مفید به کل $\frac{۰}{۱۶}\%$ می‌باشد. تغییرات تخلخل در بخش‌های مختلف از صفر تا $\frac{۱۰}{۰}\%$ و میزان اشباع آب از $\frac{۱۳}{۰}\%$ الی $\frac{۱۰۰}{۰}\%$ تغییرات نشان می‌دهد. مقادیر ضخامت مفید به کل، اشباع آب مؤثر و تخلخل مؤثر سازند ایلام را در بعضی از چاهها [جدول ۲](#) ملاحظه می‌کنید. براساس آزمایشات معمولی مغزه، تخلخل نمونه‌های شکافدار $\frac{۱}{۴۲۷}\%$ و تراوایی آنها $\frac{۲}{۵۶}\text{ mD}$ و لی در نمونه‌های بدون شکاف $\frac{۱}{۱۰۴}\%$ تخلخل و $\frac{۰}{۰۵}\text{ mD}$ تراوایی نشان دادند. تغییرات نفوذپذیری مخزن عمدتاً قبل از تأثیر اثر کلینکبرگ بین $\frac{۰}{۰۱}\text{ الی }\frac{۹}{۹۱}\text{ mD}$ ولی بعد از اصلاح این اثر بین $\frac{۰}{۰۰۵}\text{ تا }\frac{۰}{۳۲۷۰}\text{ mD}$ قرار می‌گیرد. در [شکل ۱۲](#) نمودارهای پتروفیزیکی و تغییرات پارامترهای گاما، تخلخل نوترونی، چگالی و نیز منحنی تغییرات INPEFA^۱ نشان داده شده است.

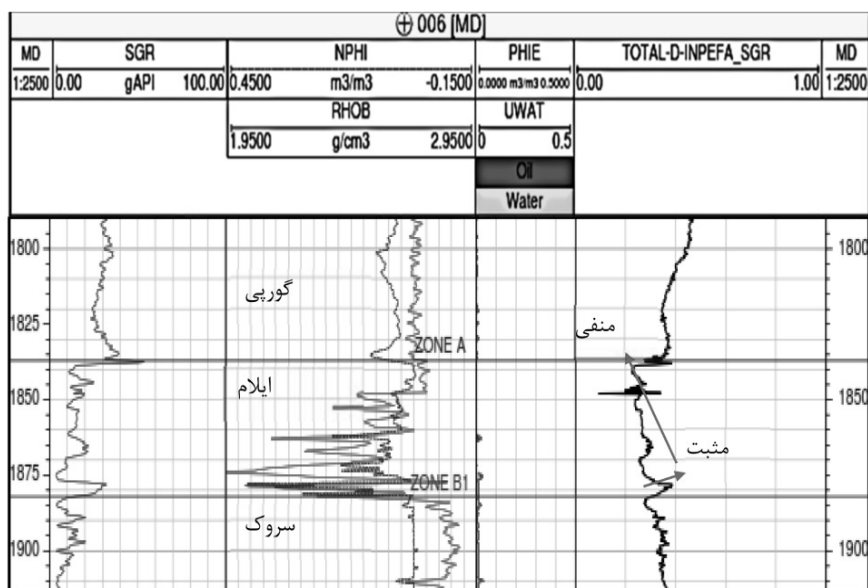
در سازند ایلام پیریت عمدتاً به صورت دانه تمشکی جانشین شده در زمینه مشاهده شده است ([شکل ۱۱ ج](#)). این فرآیند در سازند ایلام گسترش چندانی نداشته است.

توصیف مخزنی سازند ایلام

این مخزن از سنگ‌های کربناته (آهک و آهک‌های دولومیتی) با تخلخل کم تشکیل شده است. با توجه به تخلخل کم این سنگ‌ها (متوسط $\frac{۰}{۲۵}\%$)، نقش موثر شکستگی‌ها در تولید از این مخزن به‌طور چشم‌گیری اهمیت دارد. بخش شرقی آن نسبت به قسمت‌های دیگر از پیچیدگی بیشتری بدلیل تاثیر از گسل‌های تراسی در جنوب و شمال میدان و ساختار خطی خارک - میش برخوردار است. گسل تراسی مورد اشاره در بخش جنوب شرقی میدان باعث گردید تا یال جنوبی مخزن آسماری و بنگستان تا ۷۵ درجه شیب پیدا کنند. بستگی ساختمانی مخزن ایلام در این میدان نیز با توجه به آخرین کنتور بسته (۲۷۰۰ m) ([شکل ۶ ب](#)) محاسبه شد. بخش بالایی سازند ایلام با ناپیوستگی فرسایشی به صورت مستقیم بر روی سازند سروک قرار گرفته است. این موضوع تعکیک دو واحد آهکی را مشکل کرده است. در راس سازند ایلام یک زون هوازده قرار می‌گیرد که در زیر آن لایه‌های آهکی - دولومیتی سازند ایلام قرار داشته که متعلق به محیط کم عمق است. در سازند ایلام

جدول ۲ داده‌های مخزنی سازند ایلام در بعضی از چاهها با برش: PHIE=4.5; SWE<50; Vsh<50

شماره چاه	۱۸۹	۱۹۶	۲۰۷	۳۱۴	۳۱۶	۳۳۵	۳۳۹
پارامتر							
ضخامت مفید به کل (m/m)	۰/۱۲۳	۰/۱۱۲	۰/۰۰۹	۰/۰۵۳	۰/۰۷۷	۰/۰۳۶	۰/۱۵۷
میانگین تخلخل مؤثر (v/v)	۰/۱۰۵	۰/۰۶۳	۰/۰۴۷	۰/۰۶۴	۰/۶۰	۰/۰۷۸	۰/۰۵۹
میانگین اشباع آب مؤثر (v/v)	۰/۲۷۹	۰/۲۳۳	۰/۱۶۹	۰/۱۸۸	۱۵۳/۰	۰/۴۲	۰/۲۲۵



شکل ۱۲ نمودار پتروفیزیکی سازند ایلام در چاه ۶ میدان گچساران

INPEFA نشان دهنده بخشی از داده است که مقادیر واقعی لاغ کمتر از مقدار پیش‌بینی شده در نمودار INPEFA است. بدطور کلی، می‌توان این روند منفی را به عنوان پسروی و روند مثبت را به عنوان پیشروی در نظر گرفت. مثبت شدن به سمت بالا نشان دهنده افزایش رسوبات دانه ریز، عمیق شوندگی و هم چنین افزایش فاصله از خط ساحلی است. به عنوان مثال نمودار INPEFA در چاه شماره ۶، نشان دهنده کاهش عمق حوضه رسوبی به سمت رأس میدان یا پسروی دریا است.

این منحنی از تبدیل منحنی PEFA حاصل شده، نشان دهنده اختلاف تجمعی بین مقادیر لاغ پیش‌بینی شده و مقادیر واقعی لاغ است. منحنی PEFA را می‌توان با استفاده از یک لاغ حساس به رخساره مانند نمودار گاما محاسبه کرد [۶۰-۶۱]. در نرم‌افزار سیکلولاغ تغییرات زیاد PEFA ممکن است در ارتباط با حوادث زمین‌شناسی مثل تغییر در آب و هوا، دینامیک حوضه و وقفه‌های چینه‌شناسی باشد. اگر نمودار به سمت صفر تغییر کند، روند منفی یا کاهشی دارد. این روند منفی در منحنی

نشان داد که میانگین تخلخل، اشباع آب و نسبت ضخامت مفید به کل در مخزن ایلام به ترتیب $2/3\%$ ، 88% و 16% می‌باشد. مقادیر تخلخل و اشباع آب در بخش‌های مختلف به ترتیب از $10\%-13\%$ میزان $100\%-100\%$ تغییرات نشان می‌دهد. با توجه به پایین بودن میزان تخلخل، نقش شکستگی و سایر فرآیندهای دیاژنزی در کیفیت مخزن اهمیت داشته، فعالیت بلندی قدیمی در بخش شرقی نیز در توزیع رخسارهای سازند ایلام مشهود است. بنابراین مخزن توسط عوامل متعدد رسوبی، دیاژنزی، تکتونیکی کنترل شده، کیفیت مخزنی آن در بخش‌های مختلف بسیار متغیر خواهد بود.

تشکر و قدردانی

نویسندهای مقاله بر خود لازم می‌دانند که از بخش‌های پژوهشی دانشگاه آزاد، دانشگاه شهید چمران اهواز و مناطق نفت خیز جنوب تشكرو و قدردانی نمایند. همچنین لازم است که از سردبیر محترم، داوران علمی مجله و همه کسانی که در این کار تحقیقی ما را بهنحوی کمک و راهنمایی نموده و نظریات بسیار ارزشمند آنها در ارتقا کیفی مقاله مؤثر بوده، قدردانی و سپاس‌گزاری نمایند.

نتیجه‌گیری

مطالعه رخسارهای سازند ایلام در چاههای حفاری شده میدان نفتی گچساران منجر به شناسایی تعداد ۵ ریزرخساره شده که در ۲ کمربنده رخسارهای اصلی نهشته شده‌اند. این کمربنده و ریز رخسارهای عبارت‌اند از پشت‌های ساحلی (MF1 - گرینستون)، لاغون محدودشده و دریای باز (MF2 - وکستون)؛ حاوی خردنهای رودیست و فرامینیفرای بزرگ؛ MF3 - وکستون و مادستون حاوی قطعات جلبک و فرامینیفرای بنتیک؛ MF4 - وکستون و پکستون حاوی قطعات جلبک و فرامینیفرای بنتیک و MF5 - مادستون با فونای محدود لاغون). آنالیز رخسارهای کربنات‌های سازند ایلام در میدان مطالعه شده نشان داد که این سازند در یک محیط پلاتiform کربناته از نوع شلف تشکیل شده است.

کربنات‌های سازند ایلام در میدان نفتی گچساران تحت تأثیر طیف وسیعی از فرآیندهای دیاژنتیکی انحلال، سیمانی شدن، میکریتی شدن، استیلویتی شدن، جانشینی به صورت شیمیایی و بیوشیمیایی (دولومیتی شدن، هماتیتی شدن و پیریتی شدن)، فشرده‌گی (فیزیکی و شیمیایی) و شکستگی (مکانیکی) قرار گرفته‌اند.

تغییرات پارامترهای پتروفیزیکی در مخزن ایلام

مراجع

- [1]. Flügel E (2010) Microfacies of carbonate rocks, analysis interpretation and application: Berlin- Heidelberg, New York, Springer, 976.
- [2]. Lucia F J (2007) Carbonate reservoir characterization, Spring, 2nd ed, New York, 226.
- [3]. Weidlich O (2010) Meteoric diagenesis in carbonate below karst unconformities: heterogeneity and control factors: IN geological society, London, species Publication, 329: 291-315.
- [4]. Ahr W M (2008) Geology of carbonat reservoir, 1st Edition, Johon Wiley and Sons, 1-296.
- [5]. Ehrenberge S N, Pickard N A H, Laursen G V, Mossadegh Z K, Svana T A, Aqrabi A A M, Mcarthur J M, Thirlwall M F (2007) Strontium isotope stratigraphy of the Asmari formation (Oligocens- Lower Miocens), SW Iran: Journal of Petroleum Geology, 30, 2: 107-128.
- [6]. James G A, Wynd J G (1965) Stratigraphic nomenclature of Iranian oil consortium agreement area: American Association Petroleum Geology Bulletin, 40: 2182-224.
- [7]. Wood G V, Lacassagne R M (1965) The limestone of the Bangestan group of the Iranian oil consortium, agreement area, Iranian operating oil companies, Tehran, Report 1084.
- [8]. Wynd J G (1965) Biofacies of the Iranian oil consortium agreement area, GeoScience World, AAPG Bulleitn, 12, 49: 89.
- [9]. Bourgeois F (1969) Kuh-e Bangestan: a model for cretaceous structures in Iran, Iranian Oil Operating Companies Report 89.

- [10]. Hart B B (1970) Upper Cretaceous, structural history and prospect of the Khuzestan province: Iranian Oil Operating Companies report 1162, Unpublished.
- [11]. Khalili M (1976) The biostratigraphic synthesis of Bangestan Group in southwest Iran: Iranian Oil Operating Companies, Geological and Exploration Division, Report 1219: 79.
- [12]. Razin P, Taati F, Vanbuc hem F S P (2010) Sequence stratigraphy of Cenomanian–Turonian carbonate platform margins (Sarvak Formation) in the High Zagros, SW Iran: an outcrop reference model for the Arabian Plate, Geological Society London, Special Publications, 329: 187–218.
- [۱۳]. غبیشاوی ع، رحمانی ع (۱۳۸۵) سکانس استراتیگرافی سازندهای ایلام و سروک در میدان نفتی آب تیمور چاه شماره ۱۴، گزارش شماره پ-۵۹۱۸، شرکت ملی مناطق نفت خیز جنوب. ۳۷
- [۱۴]. Khodaei N, Rezaee P, Honarmand J, Abdollahi-Fard I (2021) Microfacies analysis, sedimentary environment and sequence stratigraphy of the Ilam Formation (Coniacian? - Santonian) in the northwestern part of the Abadan Plain, Journal of Stratigraphy and Sedimentology Researches, 36, 4, 81: 109-134.
- [۱۵]. Vaziri Moghaddam H (2002) Biostratigraphic study of the Ilam and Gurpi formations based on planktonic foraminifera in SE of Shiraz, Iran: Journal of Sciences, Islamic Republic of Iran, 13, 4: 339- 356.
- [۱۶]. تدینی م (۱۳۹۳) مدل سازی انواع شکستگی‌ها در سازند ایلام با استفاده از نگارهای تصویری و داده‌های آزمایش چاه در یکی از مخازن هیدروکربنی جنوب ایران، ماهنامه علمی اکتشاف و تولید نفت و گاز، ۱۰: ۶۳-۷۰.
- [۱۷]. سرمدی ر، موسوی حرمی س، محبوبی ا (۱۳۹۵) بررسی میکروفاسیس‌ها و محیط رسوبی سازندهای مخزنی ایلام و سروک در میدان نفتی سعادت‌آباد، پژوهش نفت، دوره ۲۶، ۹۵-۵، ۱۷۳، ۱۶۱-۱۷۳.
- [۱۸]. Shahin Y (2019) Geology of West Karun oil fields shared between Iran and Iraq, AAPG Annual Convention and Exhibition, San Antonio, Texas.
- [۱۹]. Khosroehrani Kh, Baghbani D, Keshani F, Omrani M (2011) New finds in biostratigraphy of Ilam Formation at Kuhe Assaluyeh, (Zagros Province) Journal of Geoscience, 20, 78: 53-60.
- [۲۰]. سپیانی ح، محبوبی ا، موسوی حرمی ر، محمودی قرایی م ح، غفرانی ا (۱۳۸۹) فرآیندهای دیاژنز و تأثیر آن بر کیفیت مخزنی سازند ایلام، میدان نفتی ماله کوه، شمال باختری اندیمشک، مجله پژوهش نفت، ۲۰، ۶۵-۸۳.
- [۲۱]. اسدی مهماندوستی ا (۱۳۸۴) ژئوشیمی و دیاژنز سازند ایلام در میادین نفتی آب تیمور و منصوری و رخنمون تنگ رشیدکوه پیون، منطقه ایذه، پایان نامه کارشناسی ارشد، دانشگاه شهید بهشتی، ۳۱۱.
- [۲۲]. اسدی مهماندوستی ا، دانشیان ج، محمدپناه م ف (۱۳۹۸) بررسی ویژگی‌های رسوبی- دیاژنزی و ژئوشیمیایی سازند ایلام در شمال غرب آبدانان، کبیرکوه. پژوهش‌های چینه نگاری و رسوب‌شناسی، ۳۵: ۱۰۴-۷۷.
- [۲۳]. Asadi Mehmandost E, Bdolmaleki S, Ghalavand H (2017) Microfacies, sedimentary environment and diagenesis of the Ilam Formation in an Oilfield of the Abadan plain, Applied Sedimentology, 5, 9: 21-39.
- [۲۴]. چهارده چریک غ (۱۳۸۵) زیست چینه‌نگاری سازند ایلام (براساس فرامینیفرهای پلانکتونیک، جنوب غرب ایلام، پایان نامه کارشناسی ارشد، دانشگاه اصفهان، ۳۲۲).
- [۲۵]. Rikhtegarzadeh M, Vaziry S M, Aleali M, Amir Bakhtiar H, Jahani D (2017) Microbiostratigraphy, microfacies and depositional environment of the Sarvak and Ilam Formations in the Gachsaran Oilfield, Southwest Iran, Micropaleontology, 63, 6: 413-428.
- [۲۶]. Mehrabi H, Rahimpour-Bonab H, Enayati-Bidgoli A H, Navidtalab A (2013) Depositional environment and sequence stratigraphy of the Upper Cretaceous Ilam Formation in central and southern parts of the Dezful Embayment, SW Iran, Carbonate and Evaporites, 29, 3.
- [۲۷]. وزیری مقدم ح، صفری ا (۱۳۸۲) میکروفاسیس‌ها و محیط رسوبی سازند ایلام در منطقه سمیرم، مجله پژوهشی دانشگاه اصفهان (علوم پایه)، ۱۸: ۷۴-۵۹.
- [۲۸]. Zohrabzadeh M, Rahimpour-Bonab H, Aleali M (2020) The middle cretaceous – lower miocene 3D petroleum system modeling of kupal oil field, South West of Iran, Dezful Embayment: Geopersia, 10, 1: 165-194.
- [۲۹]. Atashbari V, Tingay M, Amrouch K H (2018) Stratigraphy, tectonics and hydrocarbon habitat of the Abadan

- Plain Basin: a geological review of a prolific Middle Eastern hydrocarbon province, *Geosciences*, 8, 12: 496, 17.
- [30]. Rajabi M, Sherkati S, Bohloli B, Tingay M (2010) Subsurface fracture analysis and determination of in-situ stress direction using FMI logs: An example from the Santonian carbonates (Ilam Formation) in the Abadan Plain, Iran, *Tectonophysics*, 492: 192–200.
- [31]. Sherkati S, Letouzey J (2004) Variation of structural style and basin evolution in the Central Zagros (Izeh Zone and Dezful Embayment) Iran, *Marin and Petroleum Geology*, 21: 535-554.
- [32]. Dunham R J (1962) Classification of carbonate rocks according to depositional texture, *American Association of Petroleum Geologists (AAPG) Memoir*, 1: 108-121.
- [33]. Schlager M (2002) Sedimentology and sequence stratigraphy of carbonate rocks: Amsterdam (Vrije Universiteit/ Earth and Life Sciences), 146: 114.
- [34]. Choquette P W, Pray, L C (1970) Geological nomenclature and classification of porosity in sedimentary carbonates: *American Association of Petroleum Geologists (AAPG) Bulletin*, 54: 207- 250.
- [35]. Richter F M, Rowley D B, DePaolo D J (1992) Sr-isotope evolution of seawater: the role of tectonics, *Earth and Planetary Science Letters*, 109: 11-23.
- [36]. Zhang Y, Yang T, Hohl S V, Zhu B, He T, Pan W, Chen Y, Yao X, Jiang S (2020) Seawater carbon and strontium isotope variations through the late Ediacaran to late Cambrian in the Tarim Basin, *Precambrian Research*, 105769.
- [۳۷] موسوی زاده س م ع (۱۳۹۸) بررسی روند تغییرات دمای دیرینه در نهشته‌های کربناته آپتین - آلبین در زون چین خورده-رانده زاگرس بر مبنای داده‌های ایزوتوب اکسیژن. پژوهش‌های چینه‌نگاری و رسوب‌شناسی، ۳۵ : ۷۲-۵۵.
- [۳۸] رحیم‌پور بناب ح (۱۳۹۱) چینه‌شناسی سازنده‌های ایلام و سروک با استفاده از ایزوتوب استرانسیم و تعیین مرز انها در بخش میانی فرو افتادگی دزفول، مناطق نفتخیز جنوب، طرح ۴۴۷، ۸۷-۱۱-۰۲۷۴.
- [39]. Neto I A L, Misságia, R M, Ceia M A, Archilha N L, Oliveira L C (2014) Carbonate pore system evaluation using the velocity–porosity–pressure relationship, digital image analysis, and differential effective medium theory, *Journal of Applied Geophysics*, 110: 23–33.
- [40]. Lamarche J, Lavenu A P C, Gauthier B D M, Guglielmi Y, Jayet O (2012) Relationships between fracture patterns, geodynamics and mechanical stratigraphy in carbonates (South-East Basin, France): *Tectonophysics*, 581: 231-245.
- [41]. Moore C H, Wade W J (2013) Carbonate reservoir porosity and diagenesis in a sequence stratigraphic framework: *Developments in Sedimentology*, 67: 1- 374.
- [42]. Tucker, M. E. (2001) *Sedimentary petrology: an introduction to the origin of sedimentary rocks*: Blackwell, Scientific Publication, London, 260.
- [43]. Makhloufi Y, Collin P Y, Bergerat F, Casteleyn L, Claes S, David C H, Menendez B, Monna M, Robion P H, Sizun J P, Swennen R, Rigollet C H (2013) Impact of sedimentology and diagenesis on the petrophysical properties of a tight oolitic carbonate reservoir, The case of the oolite Blanche Formation (Bathonian, Paris Basin, France), *Marine and Petroleum Geology*, 48: 323-340.
- [44]. Sahraeyan M, Bahrami M, Arzaghi S (2014) Facies analysis and depositional environments of the Oligocene-Miocene Asmari Formation, Zagros Basin, Iran, *Geoscience Frontiers*, 5: 1- 10.
- [45]. El-Saiy A K, Jordan B R (2007) Diagenetic aspects of tertiary carbonates west of the Northern Oman Mountains, United Arab Emirates, *Journal of Asian Earth Sciences*, 31: 35-43.
- [46]. Zhen-Kui J, Chun-Hui L (2008) Quantitative study on reservoir diagenesis in Northern Dagang Structural Belt, Huanghua Depression, *Petroleum Exploration and Development*, 35, 5: 581–587.
- [47]. Henares S, Caracciolo L, Cultrone G, Fernandez J, Viseras C (2014) The role of diagenesis and depositional facies on pore system evolution in a Triassic outcrop analogue (SE Spain), *Marine and Petroleum Geology*, 51: 136–151.
- [48]. Adabi M H, Asadi Mehandosti E (2008) Microfacies and geochemistry of the Ilam Formation in the Tang-E Rashid area, Izeh, SW Iran, *Journal of Asian Earth Sciences*, 33: 267–277.
- [49] Deville De Periere M, Durlet C, Vennin E, Lambert L, Bourillot R, Caline B, and Poli E (2011) Morphometry of micrite particles in Cretaceous microporous limestones of the Middle East, Influence on reservoir properties: *Marine and Petroleum Geology*, 28: 1727–1750.
- [50]. Hoseinabadi M, Mahboubi A, Mirab Shabestari G R, Motamed A (2016) Depositional environment, diagenesis, and geochemistry of Devonian Bahram Formation carbonates, Eastern Iran, *Arab Journal Geoscience*, 9: 70.
- [51] Tucker M E, Wright V P (1990) *Carbonate sedimentology*, Oxford, Blackwell Scientific Publications, 482.
- [52]. Shakeri A, Parham S (2014) Microfacies, depositional environment and diagenetic processes of the Maud-dud member, in a feld in the Persian Gulf, *Journal Geological Geoscience*, 2: 67–78.
- [53]. Aghaei A, Mahboubi A, Moussavi- Harami R, Nadjafi M, Hakrapani G J (2014) Carbonate diagenesis of

the Upper Jurassic succession in the West of Binalud- Eastern Alborz (NE Iran), Journal Geological Society of India, 83: 311- 328.

[54]. Ebadati N (2018) Fractures effect in reservoir quality of Ilam and Sarvak formations in Hengam oilfield using imaging logs, Journal of Geolical Society of India, 92: 491–497.

[55]. Vandeginste V, John C M, Manning C (2013) Interplay between depositional facies, diagenesis and early fractures in the Early Cretaceous Habshan Formation, Jebel Madar, Oman: Marine and Petroleum Geology, 43: 489-503.

[56]. Hood S D, Nelson C S, Kamp P J J (2004) Burial dolomitisation in a cool-water carbonate petroleum reservoir: the Oligocene Tikorangi Formation, Taranaki Basin, New Zealand: Sedimentary Geology, 172: 117-138.

[57]. Mehmood M, Yaseen M, Khan E U, Khan M J (2018) Dolomite and dolomitization model- A short review, International Journal of Hydrology, 2, 5: 549–553.

[58]. Hajikazemi E, Al-Aasam I S, and Coniglio M (2010) Subaerial exposure and meteoric diagenesis of the Cenomanian–Turonian Upper Sarvak Formation, southwestern Iran, Geological Society, London, Special Publications, 330: 253-272.

[59]. Wang Y M, Hendy I L, Latimer J C, Bilardello D (2019) Diagenesis and iron paleo-redox proxies: New perspectives from magnetic and iron speciation analyses in the Santa Barbara Basin, Chemical Geology, 519: 95-109.

[60]. Soua M (2012) Application of facies associations, integrated prediction error filter analysis, and chemostratigraphy to the organic-rich and siliceous Cenomanian-Turonian sequence, Bargou Area, Tunisia: Integrated sequence stratigraphic analysis, Journal of Geological Research, 15.

[61]. Yuan R, Zhu R, Qu J, Wu J, You X, Sun Y, Zhou Y (2018) Utilizing integrated prediction error filter analysis (INPEFA) to divide base-level cycle of fan-deltas: A case study of the Triassic Baikouquan Formation in Mabei Slope Area, Muhe Depression, Junggar Basin, China, Open Geoscience, 10: 1.



Microfacies, Sedimentary Environment and Diagenetic Processes Analysis of Ilam Formation in Gachsaran Oil Field, Zagross Basin

Mehdi Ahmadi Nabi¹, Davoud Jahani¹ and Bahman Soleimani^{*2}

1. Geology Department, Basic Sciences Faculty, North Tehran Branch, Islamic Azad University, Tehran, Iran

2. Department of Petroleum Geology and sedimentary Basin, Earth Sciences Faculty, Shahid Chamran University of Ahvaz, Iran

soleimani_b@scu.ac.ir

DOI:10.22078/PR.2022.4456.3016

Received: June/21/2021

Accepted: July/03/2022

Introduction

Microfacies analysis plays an important role in exploration and development processes of carbonate reservoirs [1]. The reservoir quality can be affected by depositional conditions or sedimentary facies and diagenetic processes [2]. The Ilam Formation as a main carbonate reservoir in the Zagros region is an interested subject for researchers [3-6]. In spite of these studies, it seems there is still so many facts of the formation which need to study more.

The present paper tends to show new points of this reservoir in the Gachsaran oil field. The results will be useful and applied in decisions of future drilling programs.

Materials and Methods

To analysis of lithology and microfacies variation of the Ilam Formation, 200 thin sections as a part of 1314 thin sections of core and cutting samples belong to the Bangestan reservoir were studied. Different

classifications including Dunham [7], Schlagar [8], Flugel [1] and Choquette and Pray [9] were applied. The common well logs (CGR, Neutron, density, resistivity) of nine drilled wells as well as Cyclog Software were used to get information using for the reservoir evaluation.

Results and Discussion

Microfacies Analysis and Sedimentary Environment Microfacies analysis results have indicated that there are five microfacies which belong to two facies belts including of shoal (MF1) and lagoon-restricted and semi restricted (MF2-MF5). Theses are deposited in a carbonate platform (shelf type) (Figure 1, Table 1). According to petrography and well logs survey, it was revealed that the Ilam Formation has extended and preserved only in the eastern part of the field, whilst in other parts, this part was removed through erosion and the presence of paleohigh.

Table 1 Determined microfacies of the Ilam Formation, Gachsaran oil field.

Facies	Description	Depositional environment
MF 1	Grainstone- Benthic Feraminifera (BF), plate	Shoal
MF 2	Wackestone- bioclast (rudist, bivalve, no BF)	Lagoon
MF 3	Mudstone-wackestone, BF. (valveolina, nezzata,...)-bioclast (rudist debris)	Lagoon
MF 4	Packstone BF+Pell+Shell frag.	Lagoon
MF 5	Mudstone no fossil	Lagoon-local restricted

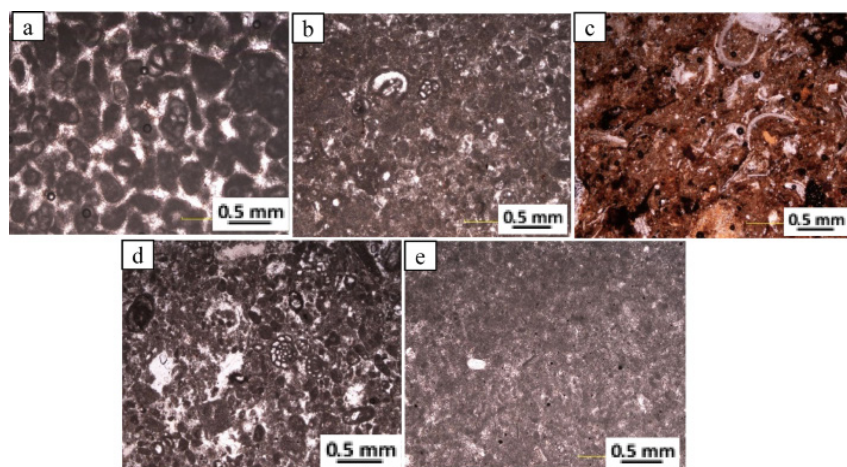


Fig. 1 Microphotographs of determined microfacies: (a) MF1-Grainstone; (b) MF2-large foram and rudist debris wackestone; (c) MF3-benthic foram and algae mudstone and wackestone; (d) MF4- benthic foram and algae packstone and wackestone; (e) MF5-mudstone.

Paleohigh and Ilam Microfacies Distribution

The paleohigh of Kharc-Mish is located at the eastern part of the Gachsaran oil field. Its activity during Cretaceous/Tertiary time caused a reduction or the lack of sedimentation of Ilam as well as younger formations in this part of Zagros basin (Figure 2). Therefore, in view of sedimentary facies, it seems that the western part will be different from eastern parts based on the present available data.

Conceptual Model

Microfacies distribution and proposed conceptual sedimentary model of the Ilam Formation in this oil field was presented in Figure 3.

Diagenetic Processes

The carbonate sediments of Ilam Formation are presenting different diagenetic processes which are explained briefly (Figure 4):

Micritization (sometimes erase the internal structure of skeletal grains and may preserve the general shape and carbonate grain morphology), compaction (physical and chemical as well as mechanical types); neomorphism as coarsening calcite crystals; dissolution as a non selective fabric; and replacement (dolomitization, hematitization and pyritization are dominant).

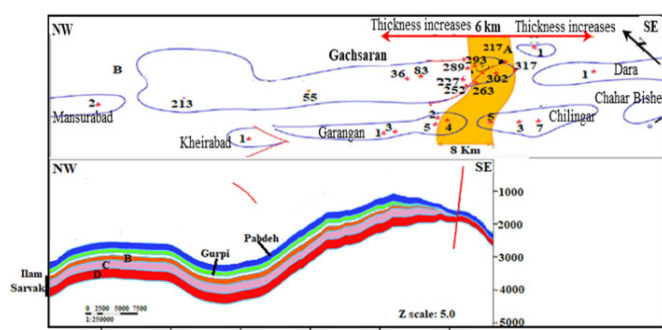


Fig. 2 The position of Kharc-Mish paleohigh and its effect on the formations thickness as shown in the structural section of the field.

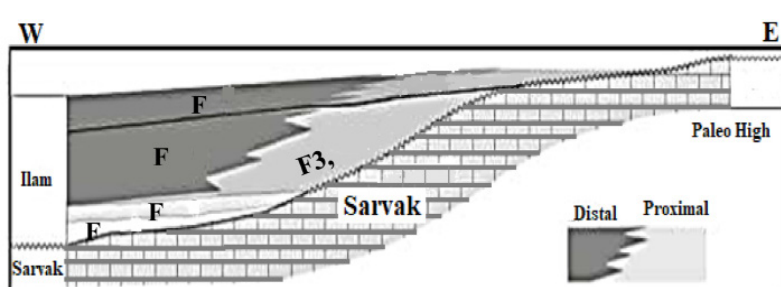


Fig. 3 The conceptual model of the Ilam formation along with microfacies distribution.

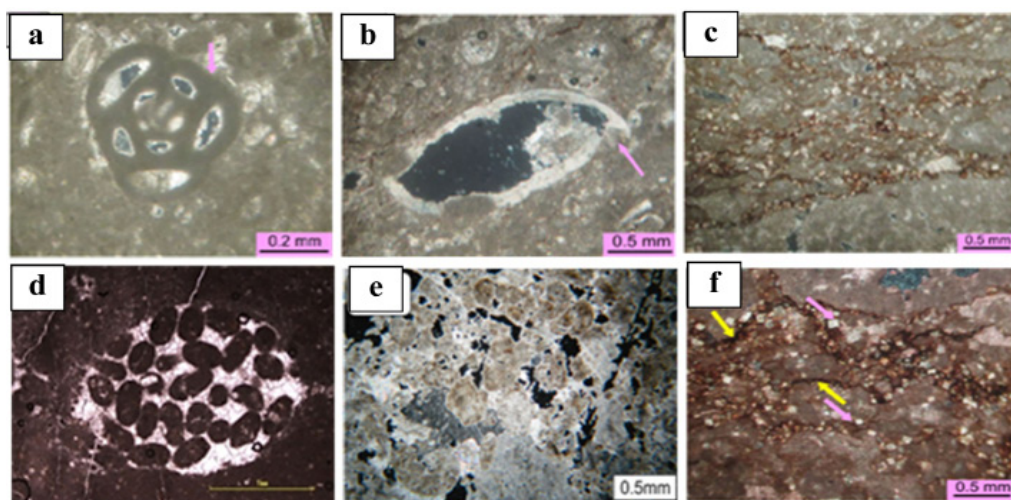


Fig. 4 Microphotographs indicating the effect of diagenetic processes: (a) Micritization, (b) compaction (physical); (c) compaction (chemical or stylolitization); (d) cementation (sparry calcite surrounded ploides); (e) non fabric selective solution; (f) replacement as dolomitization and hematitization along and around stylolites.

Reservoir Characteristics

The Ilam reservoir consists of carbonate rocks (limestone and dolomitic limestone) having low porosity (mean is 2.5%). Fracturing plays an important role in reservoir quality improvement. The mean values of net/gross, PHIE and SWE in selected drilled wells are given in Table 2.

According to the core routine analysis, comparing

between fractured samples and unfractured samples are showing the mean values of 1.427% and 2.56 md and 1.04% and 0.05 mD for the porosity and permeability respectively. Klinkenberg effect on permeability variability of the reservoir is indicating a range of 0.01-9.91 mD (before the effect) and 0.005-0.327 mD (after the effect).

Table 2 Ilam reservoir data in selected drilled wells with the cut off values of PHIE=4.5; SWE<50; Vsh<50.

Well# \ Parameter	189	196	207	314	316	335	339
Net/Gross (m/m)	0.123	0.112	0.009	0.053	0.077	0.036	0.157
PHIE.Av. v/v)	0.105	0.063	0.047	0.064	0.06	0.078	0.059
SWE.Av. (v/v)	0.279	0.233	0.169	0.188	0.153	0.42	0.225

Conclusions

The Facies analysis of Ilam Formation in selected drilled wells of the Gachsaran oil field led to determine 5 microfacies in two facies belts which are including of (a) shoal (MF1-grainstone), and (b) laggon-local restricted (MF2-rudist debris and large foram wackestone; MF3-Benthic foram and algae mudstone and wackestone; MF4-benthic foram and algae debris wackestone, packstone; MF5-mudstone). These data indicated that the formation was deposited in a homoclinal ramp type of carbonate platforms.

The carbonate sediments were subjected to different diagenetic processes as dissolution, cementation, micritization, stylolitization, chemical and biochemical replacements (dolomitization, hematitization and pyritization), compaction (physical and chemical) and fracturing (mechanical deformation). Therefore, the reservoir quality is varied strongly based on diagenetic processes intensity.

The main petrophysical parameters revealed that the averages of porosity, water saturation and net to gross ratio are varied and are generally 2.3%, 88% and 0.016, respectively. The reservoir quality of Ilam Formation was influenced by fracture, and diagenetic processes. The presence of paleohigh in eastern section of the field is not only affected on facies distribution but also is profounded role in final characteristics. Therefore, the reservoir quality is a function of several factors such as sedimentation, diagenesis and tectonic activity.

References

- Flügel E (2010) Microfacies of carbonate rocks, analysis interpretation and application: Berlin-Heidelberg, New York, Springer, 976 p.
- Lucia F J (2007) Carbonate reservoir characterization: Spring, 2nded, New York, 226 p.
- Vaziri Moghaddam H (2002) Biostratigraphic study of the Ilam and Gurpi formations based

- on planktonic foraminifera in SE of Shiraz, Iran: Journal of Sciences, Islamic Republic of Iran, 13(4), 339- 356.
4. Rikhtegarzadeh M, Vaziry S M, Aleali M, Amir Bakhtiar H, Jahani D (2017) Microbiostratigraphy, Microfacies and Depositional Environment of the Sarvak and Ilam Formations in the Gachsaran Oilfield, southwest Iran. *Micropaleontology*, 63, 6: 413-428
 5. Zohrabzadeh M, Rahimpour-Bonab H, Aleali M (2020) The Middle Cretaceous – Lower Miocene 3D petroleum system Modeling of Kupal Oil Field, South West of Iran, Dezful Embayment: Geopersia, 10, 1: 165-194.
 6. Shahin Y (2019) Geology of West Karun Oil Fields Shared Between Iran and Iraq. May 19-22, 2019, San Antonio, Texas,
 7. Dunham R J (1962) Classification of carbonate rocks according to depositional texture in W. E. Ham (Ed.), *Classification of carbonate rock: American Association of Petroleum Geologists (AAPG) Memoir*, 1: 108- 121.
 8. Schlager M (2002) *Sedimentology and Sequence Stratigraphy of Carbonate Rocks*: Amsterdan (Vrije Universiteit/ Earth and Life Sciences), 146: 114
 9. Choquette P W, Pray L C (1970) Geological nomenclature and classification of porosity in sedimentary carbonates: American Association of Petroleum Geologists (AAPG), *Bulletin*, 54: 207- 250.